

地盤情報システムを用いた御船町東部地区山地斜面災害の解析（その3）

熊本大学工学部

○田尻 要

九州東海大学工学部

中山 洋

"

荒牧昭二郎

熊本大学地域共同研究センター

今泉繁良

1. はじめに

1988年5月3から4日にかけて、熊本県中部域は記録的な集中豪雨にみまわれ、御船町東部から宮崎県境にかけて土木災害が多発した。その中で、斜面崩壊が多発した間谷山（矢部町、標高812m）周辺の東西8km×南北6kmの地域（図-1参照）を対象に、筆者等が先に実施した長崎災害の解析¹⁾と同様に、地盤情報データベースシステムを適用し、数量化II類に基づく解析を行った。さらに、対象地域の危険度予測分布図（ハザードマップ）を作成したので併せて報告する。



図-1 解析対象地域の位置図

2. 解析の概要

データベースに、メッシュ内の最高・最低標高データを追加したことで、既存の標高データとの照合により、表-1に示すようにメッシュ内の斜面形状のモデル化²⁾を行った。

表-1 斜面形状のモデル化

	メッシュ内 最大標高	メッシュ4隅中 最大標高	メッシュ内 最低標高	メッシュ4隅中 最低標高
凸 型	$N_{max} > M_{max}$	$N_{min} \geq M_{min}$		
凹凸複合型	$N_{max} > M_{max}$	$N_{min} < M_{min}$		
凹 型	$N_{max} \leq M_{max}$	$N_{min} < M_{min}$		
单 斜 面	$N_{max} \leq M_{max}$	$N_{min} \geq M_{min}$		

これを斜面形状要因として、前回までの地質・傾斜角・傾斜方向・土地被覆状況要因に加え、5要因で解析を行った。また、地質要因については、解析により得られた評価を他の地域にも適用できるように、カテゴリー区分をより汎用性のあるものに変更した。さらに、解析により得られた各要因のカテゴリーの評価に基づき、メッシュ毎に危険度を求め、その分布図をXYプロッタにより作成した。

3. 解析結果および考察

数量化II類により求められた各要因のカテゴリー数量を表-2に示す。危険側の評価を得たものは、地質では中世代以新の固結堆積物や深成岩、傾斜角では35°以上の斜面、土地被覆状況では果樹園や未立木地、斜面形状では凹型や凹凸複合型斜面などである。中世代以新の固結堆積物は”御船層砂岩”と呼ばれ、表層の風化が激しくもろい岩相を呈していること、深成岩については、深成岩に分類されたほぼ全域がカコウ岩であり、発達した節理に水を多く含み相当深く風化していることから、両者が危険側の評価を受けたものと思われる。果樹園は段切り構造の裸地に近い状態であることから、未立木地と併に危険側の評価を得た。果樹園と未立木地については先に実施した長崎災害の解析¹⁾でも同様の結果が得られている。斜面形状の凹型や凹凸複合型の斜面は、周辺に比べ降水が集まる傾向にあり崩壊に結び付き易く、他の研究報告³⁾でも同様に危険側の評価を得ている。

4. ハザードマップの作成

表-1に示すカテゴリー数量を用い、対象地域の全メッシュについて求めたカテゴリー数量和のメッシュ数分布から確率密度を計算した。そして、崩壊無の確率をf(1)、崩壊有の確率をf(2)として、危険度

(Df) を次のように定めた。

$$Df = \frac{f(2)}{f(1)+f(2)} \times 100$$

この危険度に関して、70以上・50以上 70未満・20以上 50未満・20未満の4ランクに分け、

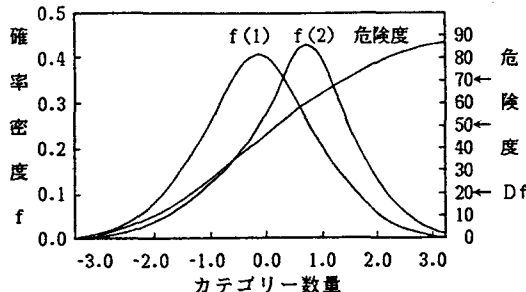


図-2 崩壊無, 有の確率と危険度

それぞれのランクの分布をXYプロッタにより出力したものが図-3である。このハザードマップの濃色で示される危険箇所と、実際の崩壊地点を比較すると場所的な傾向は概ね一致した。

5. おわりに

今後は、水系に関する情報のファイル化をはじめとしたデータベースの充実や、水系を含めた要因で解析することなど、ハザードマップの実用レベルへの精度向上を目指していきたい。最後に資料の提供を頂いた熊本県庁の方々に御礼申し上げます。

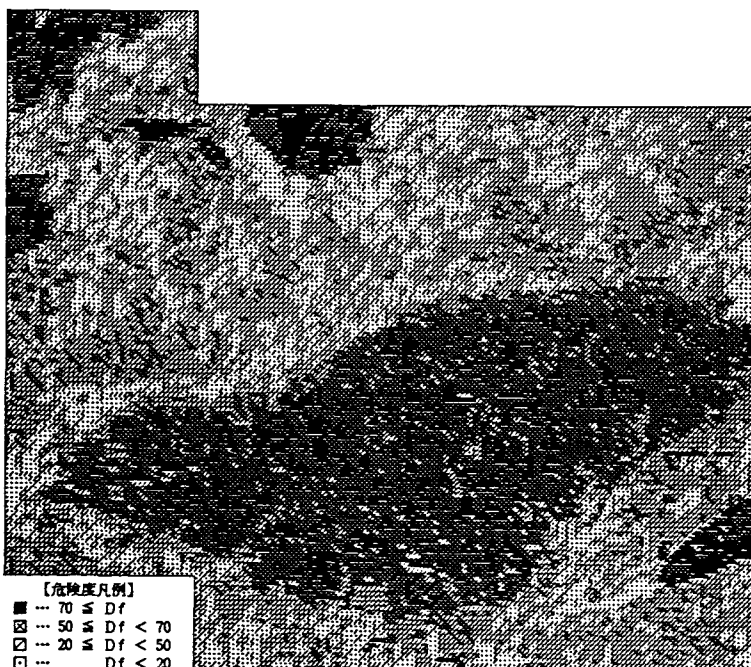


図-3 解析対象地域の危険度予測分布図

表-2 数量化II類による解析結果

項目	カテゴリー	件数	カテゴリー数量						範囲	偏相関係数
			-2.0	-1.0	0.0	1.0	2.0			
地質	冲積層	195	-	0.125					2.260	0.075
	國城(中世代以新)	922	-	1.723						
	堆積物(古生代以古)	2696	-	0.429						
	火山性岩石	6472	-	0.378						
斜面	表層岩	217	-	1.230					1.356	0.053
	広域変成岩	6189	-	0.493						
	接觸変成岩	2384	-	0.537						
	0~5(度)	78	-	0.800						
斜面方向	5~10	164	-	0.827					0.514	0.022
	10~15	418	-	0.622						
	15~20	1076	-	0.433						
	20~25	1908	-	0.444						
	25~30	2317	-	0.416						
	30~35	2738	-	0.455						
	35~40	6200	-	0.294						
	40<	4122	-	0.529						
土地被覆状況	0~45(度)	2045	-	0.365					0.943	0.035
	45~90	2394	-	0.148						
	90~125	2503	-	0.078						
	125~180	2406	-	0.142						
	180~225	2768	-	0.149						
	225~270	2578	-	0.025						
	270~315	2188	-	0.162						
斜面形状	315~360	2127	-	0.135					0.723	0.037
	平地	21	-	0.081						
	針葉樹林	10711	-	0.221						
竹果木立	広葉樹林	2009	-	0.291					0.943	0.035
	竹	1719	-	0.441						
	果樹園	143	-	0.349						
	木立	330	-	0.502						
	草	263	-	0.282						
耕作地	耕作地	3900	-	0.300					0.723	0.037
	凸型斜面	5238	-	0.358						
	凹凸混合斜面	3646	-	0.159						
	凹型斜面	5089	-	0.365						
单斜面	单斜面	5002	-	0.105					0.723	0.037

参考文献

- (1)今泉繁良, 田尻要, 中山洋: 地盤数値情報データベースシステムによる斜面崩壊危険度分布図の作成, 土木学会第2回環境システムシンポジウム, 1989
- (2)小橋澄治: 都市周辺土砂害対策のためのデータベースの構築とその利用法, 自然災害特別研究研究会, 1985
- (3)橋木武: 統計的手法による崖崩れの安全度解析, 土木学会西部支部研究発表会, 1983